

绪论

1. 信号分类

(1) 变量数:  $t \dots$  一元/多元

(2) 确定/随机

(3) 连续 — 模拟信号

变量  $t \sim \text{连续波形}$

离散 { 时间离散 — 采样

变量  $n \sim \text{离散采样}$

幅值离散 — 数字

(4) 周期/非周期

(5)  $f(t)$  视为电压, 功率  $|f(t)|^2$ ,  $-\infty < t < \infty$  中,

能量  $E = \int_{-\infty}^{\infty} |f(t)|^2 dt$

$E$  有界  $\rightarrow$  能量信号

$f(t)$  有限时间, 有限积分

平均功率  $P = \lim_{T \rightarrow \infty} \frac{1}{2T} \int_{-T}^T |f(t)|^2 dt$

$E = \infty, P$  有界  $\rightarrow$  功率信号

$f(t)$  无限时间,  $f$  有界

\* 周期信号是功率信号

授课教师: 谢晓晨 教授

职称格式示例:

• Office: 信息楼 L324/325

1班-李华-学号

• Email: xiexiaochen@hit.edu.cn

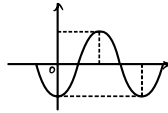
课程学时: 40 (授课32学时, 上机实验8学时)

考核方式: 平时 (出勤、作业) 20%, 实验20%, 期末考试 (闭卷) 60%

一. 时域分析

1. 描述 - 波形图

(1) 正弦:  $f(t) = A \sin(\omega t + \varphi_0)$ ,  $-\infty < t < \infty$ , 周期  $T = \frac{2\pi}{\omega}$



① 微积分仍为正弦

② 同频正弦相加仍为正弦

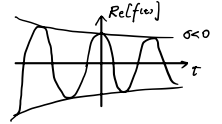
③  $f_1 = n f_0$  与  $f_0$  相加频率为  $f_0$ , 一基波  $f_0$ ,  $n$  次谐波  $f_n$ .

(2) 指数:  $f(t) = Ae^{st}$ ,  $-\infty < t < \infty$

①  $s \in \mathbb{R}$ , 实指数



②  $s \in \mathbb{C}$ :  $f(t) = Ae^{(\sigma + j\omega)t} = Ae^{\sigma t} (\cos \omega t + j \sin \omega t)$ , 在实指数包络线  $Ae^{\sigma t}$  内正弦振荡.

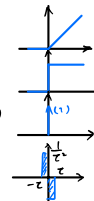


(3) 斜坡:  $f(t) = \begin{cases} kt, & t \geq 0 \\ 0, & t < 0 \end{cases}$ ,  $k=1$  时为单位斜坡  $r(t)$ .

(4) 阶跃:  $f(t) = \begin{cases} A, & t \geq 0 \\ 0, & t < 0 \end{cases}$ ,  $A=1$  时为单位阶跃  $u(t)$ .

(5) 冲激:  $\int_{-\infty}^{\infty} \delta(t) dt = 1$ , 为偶函数,  $\int_{-\infty}^{\infty} f(t) \delta(t) dt = f(0)$

↳ 偶冲激:  $\delta(t)$ , 相当于正负冲激.



$$r(t) \xrightarrow{\frac{d}{dt}} u(t) \xrightarrow{\frac{d}{dt}} \delta(t) \xrightarrow{\frac{d}{dt}} \delta'(t)$$

$$\int_{-\infty}^{\infty} f(t) \delta(t) dt = f(0), \text{ 奇}$$

2. 运算

(1) 尺度变换:  $af(t), \int_x a, f(at), \xleftrightarrow{x \rightarrow \frac{x}{a}}$

(2) 翻转:  $-f(t), f(-t)$

(3) 平移:  $f(t-t_0), t \rightarrow t-t_0$

(4) 叠加/相乘

(5) 微分/积分

(6) 卷积:  $x_1(t) * x_2(t) = \int_{-\infty}^{\infty} x_1(\tau) x_2(t-\tau) d\tau = \int_{-\infty}^{\infty} x_1(t-\tau) x_2(\tau) d\tau$ , 计算, 变换 - 信号, 积分/图解  $\rightarrow$  右移  $t$

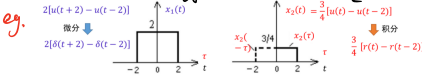
水平翻转

\* 卷积后时宽等于两信号时宽之和

① 交换律、分配律、结合律

② 微分:  $[x_1(t) * x_2(t)]' = x_1'(t) * x_2(t) = x_1(t) * x_2'(t)$ .

③ 积分:  $\int_{-\infty}^t [x_1(\tau) * x_2(\tau)] d\tau = \left[ \int_{-\infty}^t x_1(\tau) d\tau \right] * x_2(t) = x_1(t) * \int_{-\infty}^t x_2(\tau) d\tau$



$$x_1(t) * x_2(t) = \int_{-\infty}^{\infty} x_1(\tau) x_2(t-\tau) d\tau \quad (\text{根据卷积的积分性质, 对 } x_2 \text{ 求积分})$$

$$= \int_{-\infty}^{\infty} x_1(\tau) \left[ \int_{-\infty}^{\infty} x_2(t-\tau) d\tau \right] d\tau \quad (\text{根据卷积的微分性质, 对 } x_2 \text{ 求微分})$$

$$= \int_{-\infty}^{\infty} x_1(\tau) \delta(t-\tau) d\tau$$

④ 与冲激信号:  $x(t) * \delta(t-t_0) = x(t-t_0)$ ,  $x(t) * \delta'(t-t_0) = x'(t-t_0)$ .  $\Rightarrow x(t) * \delta^{(k)}(t) = x^{(k)}(t)$ ,  $k < 0$  时为  $\left( \int_{-\infty}^t \right)^{(-k)}$

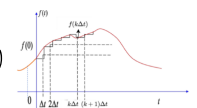
⑤ 与阶跃信号:  $x(t) * u(t) = \int_{-\infty}^t x(\tau) d\tau$ ,  $x(t) * u(t-t_0) = \int_{-\infty}^{t-t_0} x(\tau) d\tau$

3. 分解

(1) 直流 + 交流: 交流平均值为 0

(2) 偶分量 + 奇分量:  $\begin{cases} f(t) = g(t) + h(t) \\ f(-t) = g(t) - h(t) \end{cases} \Rightarrow$

(3) 冲激之和: 以  $\Delta t$  离散  $x(t)$ ,  $x(t) = \lim_{\Delta t \rightarrow 0} \sum_{k=-\infty}^{\infty} x(k\Delta t) \delta(t - k\Delta t)$



(4) 正交分解

① 正交函数集: 定义  $\langle f, g \rangle = \int_{-\infty}^{\infty} f(x) g^*(x) dx$ , 若  $f_1, \dots, f_n$  满足  $\langle f_i, f_j \rangle = \begin{cases} 0, & i \neq j \\ 1, & i = j \end{cases}$ , 则  $\{f_1, \dots, f_n\}$  为正交函数集.

若  $C[t_1, t_2] = \text{Span}\{f_1, \dots, f_n\}$ , 则为完备正交函数集, 则对  $\forall x(t) \in C[t_1, t_2]$   $x(t) = \sum_{k=1}^n \langle x(t), f_k(t) \rangle \frac{\langle x(t), f_k(t) \rangle}{\langle f_k(t), f_k(t) \rangle}$ .

② 无穷维:  $n \rightarrow \infty, \forall f \in F^\infty$ , 若  $\|f_k\|$  收敛, 则为 Hilbert 空间, 保有几何性质.

③ 完备正交集:  $\{1, \cos \omega t, \cos 2\omega t, \dots, \sin \omega t, \sin 2\omega t, \dots\}$ , 对  $C[t_0, t_0+T], T = \frac{2\pi}{\omega} \Rightarrow x(t)$  傅里叶分解  $\{e^{jn\omega t}\}, n \in Z$ , 对  $C[t_0, t_0+T], T = \frac{2\pi}{\omega}$ .

④ 分解:  $x(t) = \sum_{n=-\infty}^{\infty} c_n f_n(t) + \overline{x(t)}$ ,  $t \in (t_1, t_2)$ ,  $\overline{x(t)}$  为误差, 均方误差  $\overline{x(t)}$ .  
选  $c_n$ :  $c_n = \frac{\langle x, f_n \rangle}{\langle f_n, f_n \rangle}$ .  $\{f_n\}$  越多,  $\overline{x(t)}$  越小, 若  $\{f_n\}$  完备, 则  $\overline{x(t)} = 0$ ,  $E = \int_{t_1}^{t_2} x(t) dt = \sum_{n=-\infty}^{\infty} c_n \|f_n\|$ . (Parseval)

## 二、题域分析

### 1. 傅里叶级数(周期)

(1) 存在条件: 周期信号, 一个周期内间断点有限, 极值有限, 绝对可积.

(2) 形式

① 三角形式:  $f(t) = a_0 + \sum_{n=1}^{\infty} (a_n \cos n\omega t + b_n \sin n\omega t)$ , \* 一个周期内即可  
 $a_n = \frac{\langle f(t), \cos n\omega t \rangle}{\langle \cos n\omega t, \cos n\omega t \rangle}$ ,  $b_n = \dots$   $\| \cos n\omega t \| = \| \sin n\omega t \| = \frac{\pi}{2}, n \geq 1 \Rightarrow a_0 = \frac{1}{T} \int_{-\frac{T}{2}}^{\frac{T}{2}} f(t) dt$ ,  $a_n = \frac{2}{T} \int_{-\frac{T}{2}}^{\frac{T}{2}} f(t) \cos n\omega t dt$ ,  $b_n = \frac{2}{T} \int_{-\frac{T}{2}}^{\frac{T}{2}} f(t) \sin n\omega t dt$ .

或  $f(t) = c_0 + \sum_{n=1}^{\infty} C_n \cos(n\omega t + \varphi_n) \rightarrow$  频谱  $C_n - \omega, \varphi_n - \omega$ , 单边谱. ( $a_n = a_n, b_n = -b_n$ )

② 指数形式:  $f(t) = a_0 + \sum_{n=1}^{\infty} (\frac{a_n - jb_n}{2} e^{jn\omega t} + \frac{a_n + jb_n}{2} e^{-jn\omega t}) = a_0 + \sum_{n=-\infty}^{\infty} \frac{a_n - jb_n}{2} e^{jn\omega t} = \sum_{n=-\infty}^{\infty} F(n\omega) e^{jn\omega t}$ ,  $F(n\omega) = \frac{a_n - jb_n}{2} = \frac{1}{T} \int_{-\frac{T}{2}}^{\frac{T}{2}} f(t) e^{-jn\omega t} dt$   
 $= \frac{\langle f(t), e^{jn\omega t} \rangle}{\langle e^{jn\omega t}, e^{jn\omega t} \rangle} = \frac{1}{T} \langle f(t), e^{jn\omega t} \rangle$  双边谱,  $F(n\omega) = \overline{F(-n\omega)}$ , 频谱对称.

\* 正负频率合成 - 三角分量

(3) 功率:  $P = \frac{1}{T} \int_{-\frac{T}{2}}^{\frac{T}{2}} |f(t)|^2 dt = c_0^2 + \frac{1}{2} \sum_{n=1}^{\infty} C_n^2 = \sum_{n=-\infty}^{\infty} |F(n\omega)|^2$ . Parseval

(4) 对称性

① 奇:  $a_n = 0$ , 正弦级数

② 偶:  $b_n = 0$ , 余弦级数

③ 奇谐函数:  $f(t) = -f(t \pm \frac{T}{2}) \Rightarrow a_n = b_n = 0$  ( $n$  偶),  $a_n = \frac{4}{T} \int_0^{\frac{T}{2}} f(t) \cos n\omega t dt$ ,  $b_n = \frac{4}{T} \int_0^{\frac{T}{2}} f(t) \sin n\omega t dt$  ( $n$  奇).

(5) 近似周期信号: 间断点收敛于  $\frac{f(t_0^-) + f(t_0^+)}{2}$ , 考察均方误差.

eg1:  $f(t) = \begin{cases} \frac{t}{T}, & 0 \leq t \leq \frac{T}{2} \\ -\frac{t}{T}, & -\frac{T}{2} \leq t < 0 \end{cases}$

解:  $f(t)$  奇,  $a_n = 0$ ,  $b_n = \frac{4}{T} \int_0^{\frac{T}{2}} \frac{t}{T} \sin n\omega t dt = \int_0^{\frac{T}{2}} \frac{2t}{nT} \sin n\omega t dt$ ,  $f(t) = \frac{2E}{\pi} \sum_{n=1,3,5,\dots}^{\infty} \frac{1}{2n+1} \sin(2n+1)\omega t$

高频  $\rightarrow$  跳变, 低频  $\rightarrow$  平顶; 跳变时有超调

eg2:  $f(t) = \begin{cases} E, & |t| \leq \frac{\tau}{2} \\ 0, & \frac{\tau}{2} < |t| < \frac{T}{2} \end{cases}$

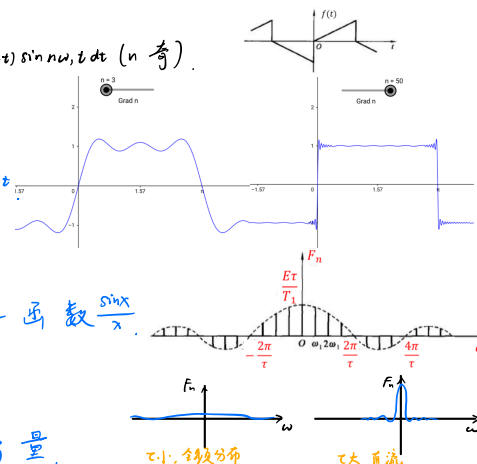
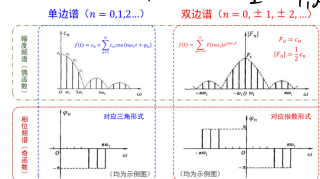
解:  $b_n = 0$ ,  $a_n = \frac{E\tau}{T}$ ,  $a_n = \frac{2E\tau}{nT} \sin \frac{n\pi\tau}{2} = \frac{2E\tau}{nT} \text{Sa}(\frac{n\pi\tau}{2})$ ,  $F_n = \frac{1}{2} a_n = \frac{E\tau}{nT} \text{Sa}(\frac{n\pi\tau}{2}) \rightarrow$  谱线呈取样函数  $\frac{\sin x}{x}$ .

\* 主要分布在  $\pm \frac{\tau}{2}$ , 频带  $= \frac{1}{\tau}$ . ( $\tau \rightarrow 0$ , 频带  $\infty$ , 不易滤除)

eg3:  $f(t) = e^{j\omega_0 t}$

解:  $F(n\omega) = \frac{1}{T} \int_{-\frac{T}{2}}^{\frac{T}{2}} e^{j\omega_0 t} e^{-jn\omega t} dt = \text{Sa}((1-n)\omega) = \begin{cases} 1, & n=1 \\ 0, & n \neq 1 \end{cases}$ ,  $\varphi_n = 0$ , 只在  $n=1$  有分量.

说明  $e^{j\omega_0 t}$  是三角形式 ( $\cos \omega t + j \sin \omega t$ )



### 2. 非周期信号

(1) 傅里叶级数: 取  $f(t) [-\frac{T}{2}, \frac{T}{2}]$  部分并延拓为周期  $T$  的信号,  $f(t) = \sum_{n=-\infty}^{\infty} \hat{F}(n\omega) e^{jn\omega t}$ .  
 $T \rightarrow \infty$  使  $\hat{F}(n\omega) = \frac{1}{T} \int_{-\frac{T}{2}}^{\frac{T}{2}} f(t) e^{-jn\omega t} dt \rightarrow 0 \Rightarrow$  考虑  $T \hat{F}(n\omega)$ ,  $F(\omega) = \int_{-\infty}^{\infty} f(t) e^{-j\omega t} dt \rightarrow$  频谱密度函数.

(2) 傅里叶变换

① 频谱密度函数: 离散级数  $F(n\omega)$  为  $n\omega$  频率强度;  
连续  $F(\omega) = \lim_{\omega \rightarrow 0} \frac{F(n\omega)}{\omega}$ ,  $\int_{\omega_1}^{\omega_2} F(\omega) d\omega$  反映  $[\omega_1, \omega_2]$  频率强度.

② 正反变换:  $f(t) \leftrightarrow F(\omega)$ ,  $\mathcal{F}[f(t)] = \int_{-\infty}^{\infty} f(t) e^{-j\omega t} dt$ ,  $\mathcal{F}^{-1}[F(\omega)] = \frac{1}{2\pi} \int_{-\infty}^{\infty} F(\omega) e^{j\omega t} d\omega$ .

条件:  $\int_{-\infty}^{\infty} |f(t)| dt$  有限, 有限第一类间断点, 有限区间内极值点有限.

(3) 常见信号频谱

\* 不满足 Dirichlet 条件可用极限  $\int_{-\infty}^{\infty} f(t) e^{-j\omega t} dt$  表示

① 矩形脉冲:  $f(t) = \begin{cases} E, & |t| \leq \frac{\tau}{2} \\ 0, & \text{其它} \end{cases}$ ,  $F(\omega) = \int_{-\frac{\tau}{2}}^{\frac{\tau}{2}} E e^{-j\omega t} dt = \frac{E\tau}{\omega} \sin \frac{\omega\tau}{2} = E\tau \text{Sa}(\frac{\omega\tau}{2})$

② 单边指数:  $f(t) = \begin{cases} e^{-at}, & t > 0, a > 0 \\ 0, & t < 0 \end{cases}$ ,  $F(\omega) = \frac{1}{a + j\omega}$

③ 双边指数:  $f(t) = e^{-a|t|}, a > 0$ ,  $F(\omega) = \frac{1}{a - j\omega} + \frac{1}{a + j\omega} = \frac{2a}{a^2 + \omega^2}$

④ 直流信号:  $f(t) = 1 = \lim_{a \rightarrow 0} e^{-at}$ ,  $F(\omega) = \lim_{a \rightarrow 0} \frac{2a}{a^2 + \omega^2} = \begin{cases} \infty, & \omega = 0 \\ 0, & \omega \neq 0 \end{cases} \rightarrow$  冲激, 强度为  $\lim_{a \rightarrow 0} \int_{-\infty}^{\infty} \frac{2a}{a^2 + \omega^2} d\omega = 2\pi$ , 故  $\mathcal{F}[1] = 2\pi \delta(\omega)$

⑤ 双边奇指数:  $f(t) = \begin{cases} -e^{at}, & t < 0 (a > 0) \\ e^{-at}, & t > 0 \end{cases}$ ,  $F(\omega) = -j \frac{2a}{a^2 + \omega^2}$

⑥ 符号函数:  $f(t) = \begin{cases} -1, & t < 0 \\ 0, & t = 0 \\ 1, & t > 0 \end{cases}$ ,  $F(\omega) = \lim_{a \rightarrow 0} -j \frac{2a}{a^2 + \omega^2} = \frac{2}{j\omega}$

⑦ 阶跃:  $u(t) = \frac{1}{2}[\text{sgn}(t) + 1]$ ,  $F(\omega) = \frac{1}{2}F[\text{sgn}(t)] + \frac{1}{2}F[1] = \pi \delta(\omega) + \frac{1}{j\omega}$

⑧ 冲激:  $\int_{-\infty}^{\infty} \delta(t) e^{j\omega t} dt = 1$ ,  $F(\omega) = 1 \Rightarrow$  均匀分布, 白色频谱

(4) 性质

① 线性

②  $f(t) \leftrightarrow F(\omega)$ ,  $\overline{f(t)} \leftrightarrow \overline{F(\omega)}$ . 若  $f(t) \in \mathbb{R}$ , 则  $F(\omega) = \overline{F(-\omega)}$ .  $f(t)$  偶:  $\text{Im}\{F(\omega)\} = -\int_{-\infty}^{\infty} f(t) \sin \omega t dt = 0$ ,  $F(\omega)$  实偶.  
 $f(t)$  奇:  $\text{Re}\{F(\omega)\} = \int_{-\infty}^{\infty} f(t) \cos \omega t dt = 0$ ,  $F(\omega)$  虚奇.

③ 对偶性:  $f(t) \leftrightarrow F(\omega)$ ,  $F(t) \leftrightarrow 2\pi f(-\omega)$ .  $f$  与  $F$  的关系.

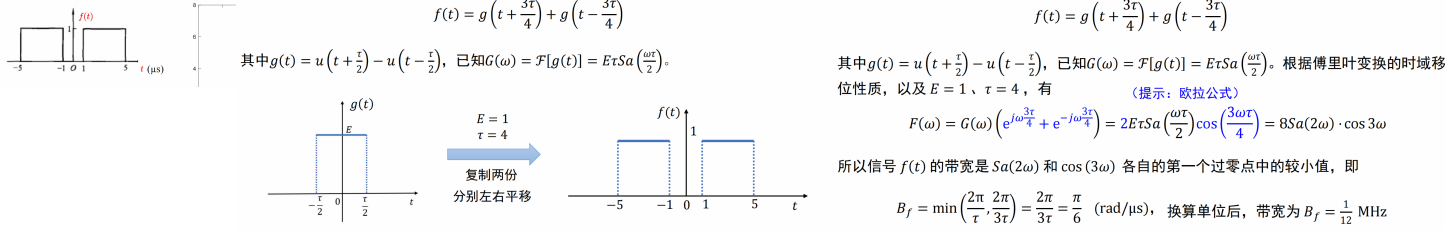
eg. 求  $f\{Sa(t)\}$ .

解: 由  $f(t) = \begin{cases} E, & |t| < \frac{\tau}{2} \\ 0, & |t| > \frac{\tau}{2} \end{cases}$ ,  $F(\omega) = E\tau Sa(\frac{\omega\tau}{2})$ . 令  $\tau = 2, E = 1$ , 则  $F\{f(t)\} = Sa(\omega)$ .  
 则  $F\{Sa(t)\} = 2\pi f(-\omega) = \begin{cases} \pi, & |\omega| < 1 \\ 0, & |\omega| > 1 \end{cases}$

④ 尺度变换:  $f(t) \xrightarrow{a} F(\omega)$ ,  $f(at) \xrightarrow{a} \frac{1}{|a|} F(\frac{\omega}{a})$ . 时域压缩  $\leftrightarrow$  频域展宽

⑤ 时移:  $f(t-t_0) \xrightarrow{a} e^{-j\omega t_0} F(\omega)$ .

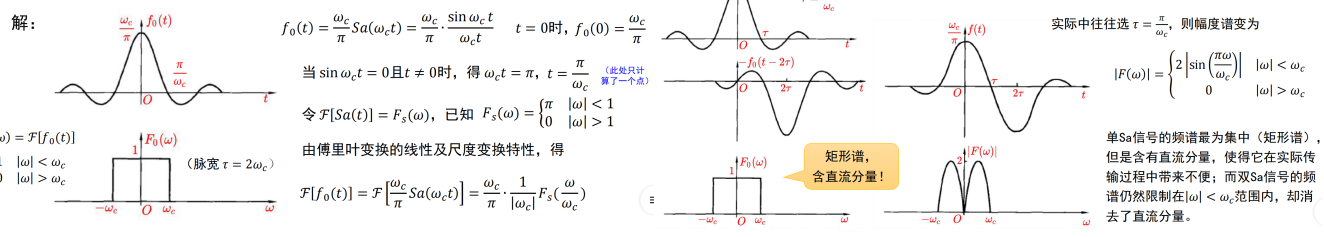
eg1. 求  $f(t)$  频谱的带宽  $B_f$ . 解:  $f(t)$  是宽为  $\tau = 4$  的单位矩形脉冲  $g(t)$  复制两份后分别左右平移  $\frac{3\tau}{4} = 3$  后相加得到, 即



eg2. 已知  $\omega_c > 0, \tau > 0$ , 求双取样信号 (双Sa信号)

$f(t) = \frac{\omega_c}{\pi} [Sa(\omega_c t) - Sa(\omega_c(t - 2\tau))]$

的频谱.



⑥ 频移:  $e^{j\omega_0 t} f(t) \xrightarrow{F} F(\omega - \omega_0)$  可平移频谱

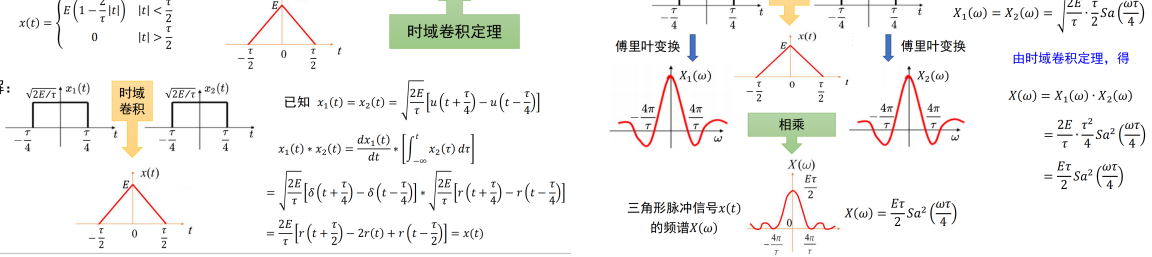
⑦ 微分:  $\frac{d^n f(t)}{dt^n} \xrightarrow{F} (j\omega)^n F(\omega)$

⑧ 积分:  $\int_{-\infty}^t f(\tau) d\tau \xrightarrow{F} \frac{1}{j\omega} F(\omega) + \pi f(0) \delta(\omega)$ . \* 初值的积分带来直流分量  $\rightarrow \delta(\omega)$

⑨ Parseval:  $\int_{-\infty}^{\infty} |f(t)|^2 dt = \frac{1}{2\pi} \int_{-\infty}^{\infty} |F(\omega)|^2 d\omega$

⑩ 卷积:  $f_1(t) * f_2(t) \xrightarrow{F} F_1(\omega) F_2(\omega)$ ,  $f_1(t) f_2(t) \xrightarrow{F} \frac{1}{2\pi} F_1(\omega) * F_2(\omega)$

eg. 求三角形脉冲信号  $x(t)$  的频谱. (简单求解方法)



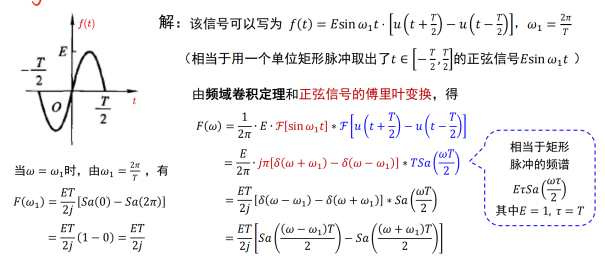
3. 周期信号傅里叶变换

(1)  $f(t) = e^{j\omega_0 t}$ :  $\int_{-\infty}^{\infty} f(t) e^{-j\omega t} dt = \int_{-\infty}^{\infty} e^{j(\omega_0 - \omega)t} dt = F(\omega - \omega_0)$ ,  $f(t) = 1$  时  $\int_{-\infty}^{\infty} e^{j\omega_0 t} e^{-j\omega t} dt = 2\pi \delta(\omega - \omega_0)$ . P.P  $\mathcal{F}\{e^{j\omega_0 t}\} = 2\pi \delta(\omega - \omega_0)$

(2)  $f(t) = \sin \omega_0 t$ :  $\mathcal{F}\{\sin \omega_0 t\} = -j\pi \delta(\omega - \omega_0) + j\pi \delta(\omega + \omega_0)$

(3)  $f(t) = \cos \omega_0 t$ :  $\mathcal{F}\{\cos \omega_0 t\} = \pi \delta(\omega - \omega_0) + \pi \delta(\omega + \omega_0)$

eg. 求单周正弦脉冲的傅里叶变换. (频域卷积定理方法)



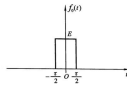
(4) 一般周期:  $f(t) = \sum_{n=-\infty}^{\infty} F(n\omega_1) e^{jn\omega_1 t} \rightarrow \mathcal{F}(\omega) = \sum_{n=-\infty}^{\infty} 2\pi F(n\omega_1) \delta(\omega - n\omega_1) \rightarrow$  离散无穷个冲激  $\rightarrow$  谐波.

周期矩形脉冲信号的傅里叶变换

周期单位冲激序列的傅里叶级数系数 vs 傅里叶变换

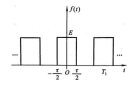
从单矩形脉冲信号  $f_0(t)$  出发, 其傅里叶变换为

$$F_0(\omega) = E\tau \text{Sa}\left(\frac{\omega T}{2}\right)$$



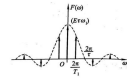
则周期矩形脉冲信号  $f(t)$  的傅里叶级数为

$$f(t) = \sum_{n=-\infty}^{\infty} \frac{1}{T_1} E\tau \text{Sa}\left(\frac{n\omega_1 T}{2}\right) e^{jn\omega_1 t}$$



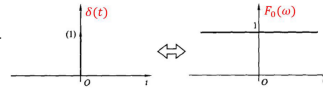
则周期矩形脉冲信号的傅里叶变换为

$$F(\omega) = \sum_{n=-\infty}^{\infty} \frac{2\pi}{T_1} E\tau \text{Sa}\left(\frac{n\omega_1 T}{2}\right) \delta(\omega - n\omega_1)$$



单位冲激信号

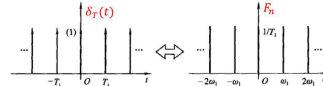
$\delta(t)$



单位冲激信号的傅里叶变换  $F_0(\omega)$

周期单位冲激序列

$\delta_T(t)$



周期单位冲激序列的傅里叶级数系数  $F_n$



周期单位冲激序列的傅里叶变换  $F(\omega)$

### 三、复频域分析

#### 1. 从 FT 过渡

FT 不易有  $f(t)$  绝对可积  $\Rightarrow$  使  $f(t)$  衰减,  $\times e^{-\sigma t}$ .  $\left. \begin{array}{l} \text{ } \\ \text{ } \end{array} \right\} j\omega \rightarrow s, \mathcal{L}\{f(t)\} = \int_{-\infty}^{\infty} f(t) e^{-st} dt.$   
 频域  $\omega \rightarrow$  复数域  $s = \sigma + j\omega.$   $\mathcal{L}^{-1}\{F(s)\} = \int_{\sigma - j\infty}^{\sigma + j\infty} F(s) e^{st} ds.$

#### 2. $\sigma$

(1) 收敛域:  $\mathcal{L}\{f(t)\}$  存在, 需  $\sigma > \sigma_0$ , 为收敛域  $\rightarrow \sigma$  抵消  $f(t)$  发散.

(2)  $s$  域中, 极点  $\sigma > 0 \rightarrow$  发散,  $\sigma < 0 \rightarrow$  收敛.

#### 3. $\mathcal{L} \rightarrow \mathcal{F}$

$\sigma > 0$ : 无 FT.  $\sigma < 0$ ,  $s = j\omega$  即为 FT.  $\sigma = 0$ , 极点  $j\omega_n$ ,  $F(j\omega) = \sum \frac{K_n}{s - p_n} + \sum K_n \pi \delta(\omega - \omega_n)$

左半平面极点

虚轴极点

# 二. 离散信号分析

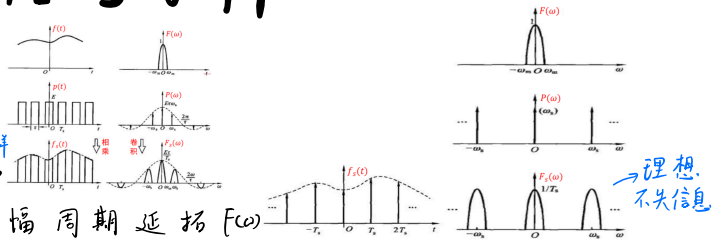
## 一. 信号的采样与恢复

### 1. 采样

对连续信号抽取特定时刻值  $f_s(t)$ .  
使用周期矩形波采样,  $f_s(t) = f(t)p(t)$ ,  $p(t)$  脉宽小.

### 2. $f(t)$ 与 $f_s(t)$

$\mathcal{F}\{f_s(t)\} = F(\omega) * \mathcal{F}\{p(t)\} = \frac{1}{T_s} F(\omega) * 2\pi \sum P_n \delta(\omega - n\omega_s) = \sum P_n F(\omega - n\omega_s) \Rightarrow$   
 $p(t)$  脉宽  $\rightarrow 0$ : 梳函数采样,  $F_s(\omega) = \frac{1}{T_s} \sum F(\omega - n\omega_s) \Rightarrow$  等幅周期延拓  $F(\omega)$

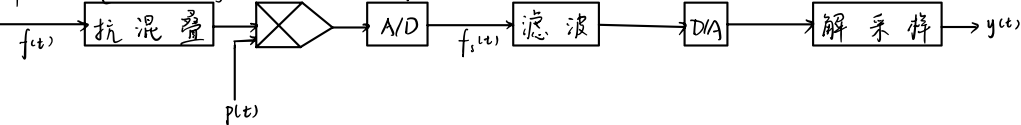


### 3. 时域采样定理

$F(\omega)$  频带有限,  $|\omega| \leq \omega_m$ , 则采样频率  $\omega_s \geq 2\omega_m$  才能保留原信号所有信息.

$F_s(\omega) \cdot G(\omega)$ ,  $G(\omega) = \begin{cases} T_s, & |\omega| \leq \frac{\omega_s}{2} \\ 0, & \text{其他} \end{cases}$  即为  $F(\omega) \rightarrow$  恢复信号  $f(t)$ .

$\tilde{F}(\omega) = \mathcal{F}^{-1}\{F_s(\omega)G(\omega)\} = f_s(t) * g(t) = \sum f(nT_s)\delta(t - nT_s) * \text{Sa}(\frac{\omega_s}{2}t) = \sum f(nT_s)\text{Sa}(\frac{\omega_s}{2}(t - nT_s)) \rightarrow \omega_s \geq 2\omega_m$  时,  $\tilde{f}(t) = f(t)$ .

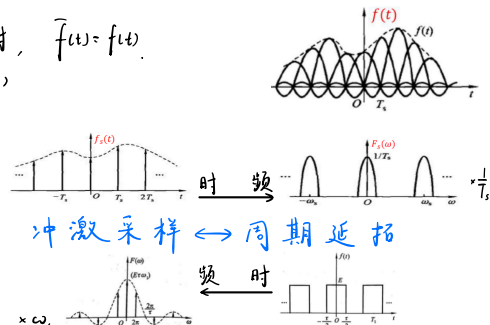


### 4. 频域采样定理

对  $F(\omega)$  进行冲激串调制,  $F_p(\omega) = F(\omega)\Delta_{\omega_s}(\omega)$ , 则时域  $f_p(t) = f(t) * \mathcal{F}^{-1}\{\Delta_{\omega_s}(\omega)\}$

$= f(t) * \frac{1}{\omega_s} \Delta_{\omega_s}(t) = \frac{1}{\omega_s} \sum f(t - kT_s) \rightarrow f(t)$  周期延拓.

若抽时间有限,  $|t| \leq t_m$ , 则应  $\omega_s \leq \frac{\pi}{t_m}$ ,  $F(\omega) = \sum F(k\omega_s)\text{Sa}(t_m(\omega - k\omega_s))$ .  
( $\frac{1}{2\omega_s} \geq 2t_m$ )



## 二. 离散信号描述

### 1. 概念

序列,  $x(n), n \in \mathbb{Z} \rightarrow$  集合, 表达式, 图

### 2. 典型序列

(1) 单位脉冲:  $\delta(n) = \begin{cases} 1, & n=0 \\ 0, & n \neq 0 \end{cases} \rightarrow$  取样:  $x(n)\delta(n-k) = x(k)$ .

(2) 单位阶跃:  $u(n) = \begin{cases} 1, & n \geq 0 \\ 0, & n < 0 \end{cases}$ ,  $\delta(n) = u(n) - u(n-1)$  差分

(3) 矩形:  $R_N(n) = u(n) - u(n-N)$ .

(4) 实指数:  $x(n) = a^n u(n)$

(5) 正弦:  $x(n) = A \sin(n\omega_0 T_s + \phi_0)$ , 采样周期  $T_s$ ,  $\Omega_0 = \omega_0 T_s$  离散域角频率.

$\frac{2\pi}{\Omega_0} = \frac{Q}{P} \in \mathbb{Q} \Leftrightarrow x(n)$  有周期  $Q$ .

(6) 复指数:  $x(n) = e^{(a + bj)n}$

(7) 任意, 用  $\delta(n)$  表示:  $x(n) = x(0)\delta(n) + x(1)\delta(n-1) + \dots = \sum_{m=-\infty}^{\infty} x(m)\delta(n-m) = x(n) * \delta(n)$ .

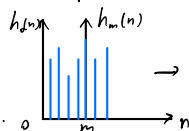
### 3. 时域变换

(1) 尺度:  $m \in \mathbb{N}^+$ ,  $x(\frac{n}{m})$ , 采样频率  $= \frac{1}{m} T_s$ ,  $x(nm)$ , 采样频率  $= m T_s$ .

(2) 卷积:  $x(n) * y(n) = \sum_{m=-\infty}^{\infty} x(m)y(n-m)$ .

由 LTV 冲激响应  $h_m(n)$ ,  $x(n) \rightarrow$  LTV  $\rightarrow y(n) = \sum_{m=-\infty}^{\infty} x(m)h_m(n)$

对 LTI,  $y(n) = \sum_{m=-\infty}^{\infty} x(m)h(n-m) = x(n) * h(n)$ .

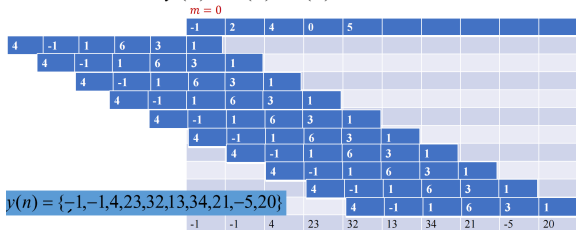


$$f(x+y) = f(x) \cdot f(y)$$

性质: 交换结合分配,  $x(n) * \delta(n-m) = x(n-m)$ .

例2-5:  $h(n) = \{-1, 2, 4, 0, 5\}$ ,  $x(n) = \{1, 3, 6, 1, -1, 4\}$

求  $y(n) = h(n) * x(n)$   $y(n)$  是一个长度为10的序列



	1	2	4	0	5					
1	-1	2	4	0	5					
3	-3	6	12	0	15					
6	-6	12	24	0	30					
1	-1	2	4	0	5					
-1	1	-2	4	0	5					
4	-4	8	16	0	20					

$h(n) = \{-1, 2, 4, 0, 5\}$ ,  $x(n) = \{1, 3, 6, 1, -1, 4\}$

$h(n) = -\delta(n) + 2\delta(n-1) + 4\delta(n-2) + 0 \cdot \delta(n-3) + 5\delta(n-4)$

$x(n) = \delta(n) + 3\delta(n-1) + 6\delta(n-2) + \delta(n-3) - \delta(n-4) + 4\delta(n-5)$

	1	2	4	0	5	0	13
1	-1	2	4	0	5	0	34
3	-3	6	12	0	15	0	21
6	-6	12	24	0	30	0	-5
1	-1	2	4	0	5	0	20
-1	1	-2	4	0	5	0	
4	-4	8	16	0	20	0	

$$x(n) * h(n) = (\sum x(n)\delta(n)) * (\sum h(n)\delta(n))$$

$$x(0) = x(0)\delta(0) * h(0)\delta(0) = x(0)h(0)$$

$$x(1) = x(0)\delta(0) * h(1)\delta(1) + x(1)\delta(1) * h(0)\delta(0)$$

## 三. 频域分析

### 1. 周期信号

(1) 高维傅里叶级数 DFS:  $x(t)$  周期  $T_0$  内采样  $N$  次,  $T = \frac{T_0}{N}$ ,  $\omega = N\omega_0$ ,  $\Omega_0 = \frac{2\pi}{N}$  为数字频率.

$$X(k\omega_0) = \frac{1}{T_0} \int_0^{T_0} x(t) e^{-jk\omega_0 t} dt \Rightarrow X(k\frac{\Omega_0}{N}) = \frac{1}{NT} \sum_{n=0}^{N-1} x(nT) e^{-jk\Omega_0 n} \cdot T = \frac{1}{N} \sum_{n=0}^{N-1} x(nT) e^{-jk\Omega_0 n}$$

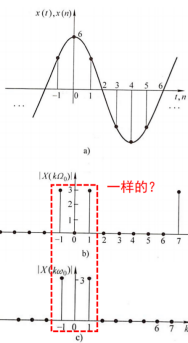
$$\tilde{x}(n) = \sum_{k=0}^{N-1} X(k\Omega_0) e^{jk\Omega_0 n}, n = 0, 1, 2, \dots, N-1.$$

$$\tilde{X}(k\Omega_0) \text{ 周期 } N, \tilde{X}^*(-k\Omega_0) = \tilde{X}^*(k\Omega_0), \tilde{X}^*(k\Omega_0) - n \text{ 谱周期, 偶.}$$

$$\tilde{X}(k\Omega_0) = \frac{1}{N} \sum_{n=0}^{N-1} x(n) e^{-jk\Omega_0 n}$$

$x(nT)$  为采样信号  
 $x(n)$  为序列, 周期  $N$

eg.

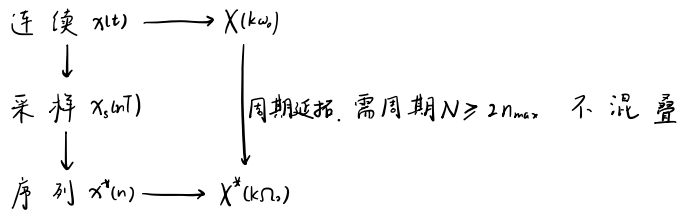


由  $x(t) = 6\cos\pi t = 3(e^{j\pi t} + e^{-j\pi t})$ , 可以通过连续时间周期信号的傅里叶级数求得相应的频谱 (离散谱), 幅度频谱用  $|X(k\omega_0)|$  表示。

首先, 以  $k$  为横坐标, 比较  $x(t)$  和  $x(n)$  的频谱:

$$|X(k\Omega_0)| = \begin{cases} 3 & k = \pm 1, \pm 7 \\ 0 & k = 0, \pm 2, \pm 3, \pm 4, \pm 5, \pm 6 \end{cases}$$

$$|X(k\omega_0)| = \begin{cases} 3 & k = \pm 1 \\ 0 & \text{其他} \end{cases}$$



(2) DFS 性质:

- ① 线性
- ② 周期卷积定理:  $x(n) \otimes h(n) = \sum_{k=-N/2}^{N/2} x(k)h(n-k) \longleftrightarrow NX(k\Omega_0)H(k\Omega_0)$
- ③ 复共轭:  $\overline{x(-n)} \longleftrightarrow \overline{X(k\Omega_0)}$
- ④ 位移:  $x(n-m) \longleftrightarrow e^{-jk\Omega_0 m} X(k\Omega_0)$
- ⑤ 帕斯瓦尔:  $\sum_{n=-N/2}^{N/2} |x(n)|^2 = \sum_{k=-N/2}^{N/2} |X(k\Omega_0)|^2$

2. 非周期信号

(1) DTFT: 非周期信号延拓后 DFS,  $T, N \rightarrow \infty$ :  $X(\Omega) = \sum_{n=-\infty}^{\infty} x(n)e^{-j\Omega n}$ ,  $x(n) = \frac{1}{2\pi} \int_0^{2\pi} X(\Omega)e^{j\Omega n} d\Omega$

$X(\Omega)$  收敛充分条件:  $\sum_{n=-\infty}^{\infty} |x(n)|$  收敛

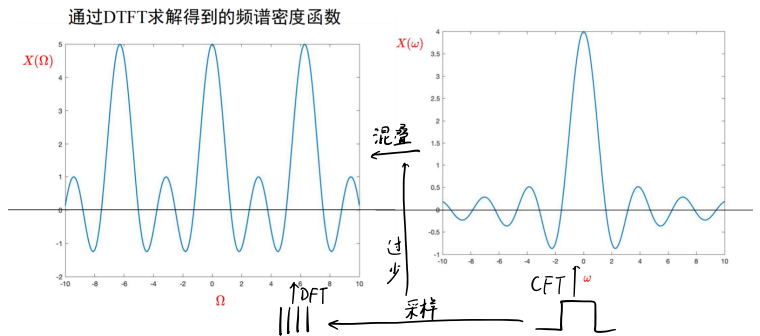
例2-10: 求有限长序列  $x(n)$  的频谱:

$$x(n) = \begin{cases} 1 & -2 \leq n \leq 2 \\ 0 & \text{其他} \end{cases}$$

解:  $X(\Omega) = \sum_{n=-2}^2 x(n)e^{-j\Omega n} = \sum_{n=-2}^2 e^{-j\Omega n} = \frac{\sin(2 + \frac{1}{2})\Omega}{\sin(\frac{1}{2})\Omega}$

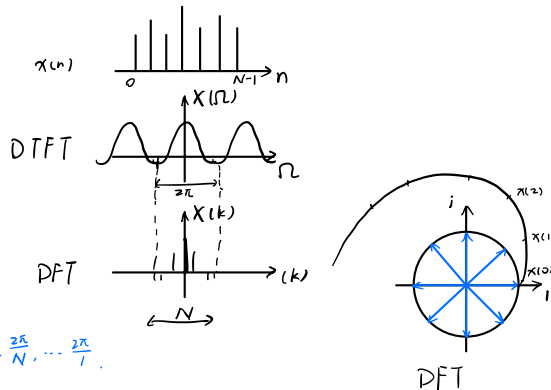
$$|X(\Omega)| = \left| \frac{\sin(2 + \frac{1}{2})\Omega}{\sin(\frac{1}{2})\Omega} \right|, \varphi(\Omega) = \begin{cases} 0 & X(\Omega) > 0 \\ \pm\pi & X(\Omega) < 0 \end{cases}$$

频谱为连续的



(2) DTFT 性质

线性	$ax(n) + by(n)$	$aX(\Omega) + bY(\Omega)$
时域平移	$x(n - n_0)$	$e^{-j\Omega n_0} X(\Omega)$
时间翻转	$x(-n)$	$X(-\Omega)$
频域平移	$e^{j\Omega_0 n} x(n)$	$X(\Omega - \Omega_0)$
时域卷积	$x(n) * y(n)$	$X(\Omega)Y(\Omega)$
共轭对称	$\overline{x(n)}$	$\overline{X(-\Omega)}$
频域微分	$nx(n)$	$j \frac{dX(\Omega)}{d\Omega}$
频域卷积	$x(n)y(n)$	$\frac{1}{2\pi} \int_{-\pi}^{\pi} X(\Omega)Y(\Omega - \lambda) d\lambda$



3. DFT

时域离散  $\Rightarrow$  频域真实信息离散,  $\Omega = k\frac{2\pi}{N} = 0, \frac{2\pi}{N}, \dots, \frac{2\pi}{N}$

从离散序列到离散频域序列

(1) 从 DFS 到 DFT:  $X(k) = NX(k\Omega_0) = \sum_{n=0}^{N-1} x(n)e^{-jk\frac{2\pi}{N}n}$ ,  $k=0, 1, \dots, N-1$ ,  $x(n)$  长为  $N$ .

(2) 从 DTFT 到 DFT: 对连续的  $X(\Omega)$  采样,  $X(k) = X(k\frac{2\pi}{N})$ ,  $k=0, 1, \dots, N-1$ , 采样间隔  $\Omega_0 = \frac{2\pi}{N}$ .  $x(n)$  长为  $L \leq N$ . (一般  $L=N$ )

矩阵形式:  $X(k) = [X(0) \dots X(N-1)]^T$ ,  $x(n) = [x(0) \dots x(N-1)]^T$ ,  $W_{nk} = [e^{jk\frac{2\pi}{N}n}]_{N \times N}$ ,  $X(k) = W_{nk} x(n)$ .

(3) 性质

- ① 线性:  $ax_1(n) + bx_2(n) \longleftrightarrow aX_1(k) + bX_2(k)$ ,  $x_1(n), x_2(n)$  长度相同, 否则短的补零
- ② 圆周移位性质: 取  $0 \sim N-1$  的  $x(n)$   $N$  个值排成环移位 ( $x(n+kN) = x(n)$ ),  $x(n-m)$  乃在  $0 \sim N-1$  取值. 圆周移位可记为  $x(n-m) \otimes R_N^m \longleftrightarrow X(k)e^{-jk\frac{2\pi}{N}m}$
- ③ 圆周卷积性质:  $x(n) \otimes h(n) \longleftrightarrow X(k)H(k)$ ,  $x(n) \otimes h(n) = \sum_{m=0}^{N-1} x(m)h((n-m)_N)R_N^n$ ,  $x(n), h(n)$  长为  $N$ . 列表求圆周卷积:
- ④ 奇偶虚实性:  $\overline{x(n)} \longleftrightarrow \overline{X(N-k)}$

4. FFT

$X(k) = \sum_{n=0}^{N-1} W_N^{nk} x(n)$ ,  $W_N^k = e^{-j\frac{2\pi}{N}k}$ ,  $W_N^k$  只与  $\frac{k}{N}$  有关, 长为  $N$  的序列计算 DFT 需  $O(N^2)$ .

$W_N^k$  有周期  $N$ , 对  $n, k = 0, 1, 2, \dots, N-1$ ,  $N \times N$  的  $W_N^k$  矩阵有重复计算

$W_N^k$  各值对称,  $W_N^k = -W_N^{N-k}$ . ( $N$  偶)  $\leftrightarrow$   $*$

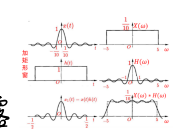
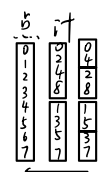
$$W_N^k = \begin{bmatrix} 0 & 0 & 0 & 0 \\ 0 & 1 & 2 & 3 \\ 0 & 2 & 4 & 6 \\ 0 & 3 & 6 & 9 \end{bmatrix}$$

$W_N^m = W_N^n \Rightarrow$  可将  $N$  个点分为 2 组  $\frac{N}{2}$  个点, 计算  $X(k) = \sum_{n=0}^{N-1} x(n) W_N^{nk} + \sum_{n=N}^{2N-1} x(n) W_N^{nk} = \sum_{l=0}^{N/2-1} x(2l) W_{N/2}^{lk} + W_N^{Nk} \sum_{l=0}^{N/2-1} x(2l+1) W_{N/2}^{lk}$

$= G(k) + W_N^k H(k)$ ,  $G(k), H(k)$  均为  $\frac{N}{2}$  长的 DFT.

$\rightarrow X(k + \frac{N}{2}) = G(k) - W_N^k H(k)$

无限平分, 对长  $N=2^m$  的序列,  $O(N \log_2 N)$ .  
对  $N=2$  序列,  $X(0) = A(0) + B(0)$   
 $X(1) = A(0) - B(0)$



### 5. 信号恢复的逼近

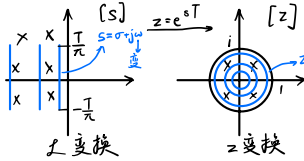
- (1) 时间有限信号: 频带无限, 会混叠, 需对  $F(\omega)$  加窗
  - (2) 频率有限信号: 时间无限, 对  $f(t)$  加窗不当会使  $F(\omega)$  变无限宽  $\rightarrow$  频谱泄露
- 若  $f(t)$  周期, 则加窗长度需为周期.

## 四. z 域

### 1. z 变换

$X(z) = \sum_{n=-\infty}^{\infty} x(n) z^{-n}$ ,  $x(n) = \frac{1}{2\pi j} \oint_C X(z) z^{n-1} dz$ ,  $C: z = re^{j\Omega}$ ,  $0 \leq \Omega < 2\pi$ .

由 DTFT 乘  $r^m$  得到,  $z = re^{j\Omega}$   
从 s 域到 z 域:  $z = e^{sT}$



\* s 平面以向(频率)  $\omega$  的轴绕 z 平面  
 $H(s)$  在  $[-\pi, \pi]$  之外有值  $\rightarrow$  z 平面上混叠, 条件:  $\omega_c > \omega_s > 2\omega_c$

从 z 到 s,  $H(s)|_{z=e^{sT}} = \frac{1}{T} \sum_{k=-\infty}^{\infty} H_n(s + \frac{2\pi}{T}k)$

求 z 变换  $H(z)$  时  $\leftarrow$  多值映射  
不能直接代  $z = e^{sT}$  到  $H_n(s)$

$\sum_{n=-\infty}^{\infty} f(t-nT) = \sum_{n=-\infty}^{\infty} F(n) e^{jn\omega T}$   
 $F(\omega) = \frac{1}{T} F(\omega)|_{\omega=n\omega_s}$   
 $F_T(\omega) = 2\pi \sum_{n=-\infty}^{\infty} F(n) \delta(\omega - n\omega_s) = \omega_s \sum_{n=-\infty}^{\infty} F(\omega) \delta(\omega - n\omega_s)$



$\mathcal{F}$	频域离散 (周期)级数	频率有最小分量 $\omega_s$	频率为 $0 \sim \omega_s$ 频域连续 变换(非周期)
	CFS: $F(n\omega_s) = \frac{1}{T} \int_{-T/2}^{T/2} f(t) e^{-jn\omega_s t} dt$ $f(t) = \sum_{n=-\infty}^{\infty} F(n\omega_s) e^{jn\omega_s t}$	CTFT: $F(\omega) = \int_{-\infty}^{\infty} f(t) e^{-j\omega t} dt$ $f(t) = \frac{1}{2\pi} \int_{-\infty}^{\infty} F(\omega) e^{j\omega t} d\omega$	$\sum_{n=-\infty}^{\infty} f(t) \delta(t-nT)$ $F_T(\omega) = \frac{1}{T} F(\omega) * \sum_{n=-\infty}^{\infty} \delta(\omega - n\omega_s)$ $= \frac{1}{T} \sum_{n=-\infty}^{\infty} F(\omega - n\omega_s)$
t $\leftrightarrow$ $\omega$ 连续 $\rightarrow$ 频域非周期 $\omega_s T = 2\pi$ 采样点	DPS: $X(k\Omega_s) = \frac{1}{N} \sum_{n=0}^{N-1} x(n) e^{-jk\Omega_s n}$ $x(n) = \sum_{k=0}^{N-1} X(k\Omega_s) e^{jk\Omega_s n}$ $x(n)$ 无限, 非周期, 离散 $X(k\Omega_s)$ 有限, 周期, 连续	DTFT: $X(\Omega) = \sum_{n=-\infty}^{\infty} x(n) e^{-j\Omega n}$ $x(n) = \frac{1}{2\pi} \int_{-\pi}^{\pi} X(\Omega) e^{j\Omega n} d\Omega$ $x(n)$ 无限, 非周期, 离散 $X(\Omega)$ 有限, 周期, 连续	采样
n $\leftrightarrow$ $\Omega$ 离散 $\rightarrow$ 频域周期 最高频 $\Omega_s = \frac{2\pi}{T_s}$ , $\Omega_c = 2\pi$	最低频 $\Omega_s = \frac{2\pi}{N}$ 取主值 $\rightarrow$ DFT: $X(k) = \sum_{n=0}^{N-1} x(n) e^{-jk\Omega_s n}$ $x(n) = \frac{1}{N} \sum_{k=0}^{N-1} X(k) e^{jk\Omega_s n}$ $x(n), X(k)$ 有限, 离散, 周期	卷积公式	
卷积公式	$x_1 * x_2 \leftrightarrow N X_1 X_2$ $x_1 x_2 \leftrightarrow X_1 * X_2$	$x_1 * x_2 \leftrightarrow X_1 X_2$ $x_1 x_2 \leftrightarrow \frac{1}{2\pi} X_1 * X_2 \rightarrow$ 连续频域 $\frac{1}{N} X_1 * X_2 \rightarrow$ 离散频域	

# 三、信号的处理

第三章系统保留的(更多见自控A)

## 一、信号无失真传输

### 1. 不失真

$y(t) = Kx(t-t_0)$ ,  $Y(\omega) = K e^{-j\omega t_0} X(\omega)$

对不同谐波,  $x(t) = E_1 \sin \omega_1 t + E_2 \sin \omega_2 t$ ,  $y(t) = K E_1 \sin(\omega_1 t - \varphi_1) + K E_2 \sin(\omega_2 t - \varphi_2)$

各延迟  $\frac{\varphi_1}{\omega_1}$ ,  $\frac{\varphi_2}{\omega_2}$ , 不相位失真需  $\frac{\varphi_1}{\omega_1} = \frac{\varphi_2}{\omega_2}$ ,  $\varphi \propto \omega$ ,  $\varphi = -\omega t_0$

### 2. 实际传输

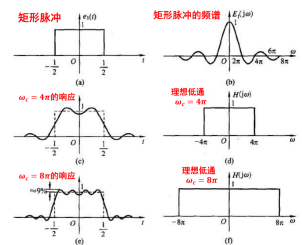
$H(j\omega)$  频率有限:

(1) 理想低通滤波:  $H(\omega) = \begin{cases} e^{-j\omega t_0} & |\omega| < \omega_c \\ 0 & |\omega| > \omega_c \end{cases}$

$\rightarrow h(t) = \frac{\omega_c}{\pi} \text{Sa}[\omega_c(t-t_0)]$ , 时域无限, 非因果系统  $\rightarrow$  不可实现  
时域上振荡  $\rightarrow$  吉布斯现象

### 3.1.2 系统的性质

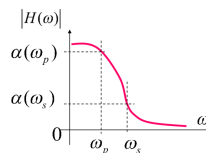
- (1) 记忆性: 瞬时系统, 动态系统
- (2) 因果性: 因果系统, 非因果系统
- (3) 可逆性: 可逆系统  $\leftrightarrow$  一对
- (4) 稳定性
- (5) 时不变性: 时变系统, 时不变系统
- (6) 线性: 线性系统, 增量线性系统



## 二、滤波器

### 1. 指标

- (1) 通带、阻带、截止频率  $20\lg|H(j\omega)|$  下降 3dB 时取  $\omega_p = \omega_{3dB}$ ,  
 (2) 中心频率:  $\omega_0 = \sqrt{\omega_p \omega_s}$   
 (3) 衰减函数:  $\alpha = 20\lg \frac{|H(\omega)|}{|H(\omega_0)|} = -20\lg|H(\omega)|$



### 2. 零极点分析

s 替换 jw.  $H(s)$  中极点位于左半平面  $\rightarrow$  稳定系统  
 零点位于左半平面  $\rightarrow$  最小相位系统  $\rightarrow$  时滞小

$|H(j\omega)|^2|_{s=j\omega} = H(s)H(-s) \rightarrow$  零极点对称,  $H(s)$  零极点在左半平面.

### 3. Butterworth 滤波器

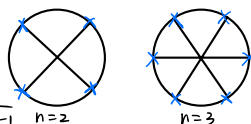
$|H(\omega)|^2 = \frac{1}{1 + (\frac{\omega}{\omega_c})^{2n}}$ . n 为阶数,  $|H(\omega_c)| = \frac{1}{\sqrt{2}}$ .

(1) 最大平坦性:  $H^{(n)}(0) = 1$

(2) 单调下降, 从 1  $\rightarrow$  0

(3)  $n \rightarrow \infty$  时趋于理想低通滤波

(4)  $H(s)H(-s)$  极点 2n 等分单位圆



阶次确定: 由  $\omega_s, \omega_c, \alpha_s$  确定  $n \geq \frac{\lg \frac{10^{\alpha_s/20} - 1}{10^{\alpha_p/20} - 1}}{\lg \frac{\omega_s}{\omega_c}}$ .

### 4. 切比雪夫滤波器

### 5. 数字滤波器

处理数字信号  $\rightarrow$  离散.  $h(n) \xrightarrow{Z} H(z)$

$H(z) = \frac{b_0 + b_1 z^{-1} + \dots + b_m z^{-m}}{1 + a_1 z^{-1} + \dots + a_n z^{-n}}$

$a_i = 0 \Rightarrow H(z) = b_0 + b_1 z^{-1} + \dots + b_m z^{-m}$ , 冲激响应  $h(n) = b_0 \delta(n) + b_1 \delta(n-1) + \dots + b_m \delta(n-m) \rightarrow$  有限冲激响应 (时间有限, 稳定(极点  $z=0$ ))  
 有  $a_i \neq 0 \Rightarrow H(z) = \sum c_i z^{-i}$ , 响应无限时间  $\rightarrow$  无限冲激响应  $\rightarrow$  需极点  $|p_k| < 1$  稳定.

#### (1) IIR 滤波器

① 冲激响应不变法: 设计  $H(s) \xrightarrow{Z} h(n) \xrightarrow{t=nT} h(n)$ .

② 双线性变换法: 将 s 域频带压缩至  $[-\frac{\pi}{T}, \frac{\pi}{T}]$  s 域, 再到 z 域.

$s = \frac{z}{T} \left( \frac{1-e^{-sT}}{1+e^{-sT}} \right), z = e^{sT} \Rightarrow s = \frac{2}{T} \left( \frac{1-z^{-1}}{1+z^{-1}} \right), z = \frac{1+\frac{T}{2}s}{1-\frac{T}{2}s}$ . s, z 一一对应, 不混叠. 会畸变

$\omega = \frac{2}{T} \tan \frac{\Omega}{2}$

例4-5: 设模拟滤波器的系统函数为

$H_a(s) = \frac{2s}{s^2 + 3s + 2}$

用冲激响应不变法求相应的数字滤波器的系统函数  $H(z)$ .

解:  $H_a(s) = \frac{2s}{s^2 + 3s + 2} = \frac{2s}{(s+1)(s+2)} = \frac{-2}{s+1} + \frac{4}{s+2}$ , 由 s 平面映射到 z 平面, 得

$H(z) = \frac{-2}{1 - e^{-T}z^{-1}} + \frac{4}{1 - e^{-2T}z^{-1}} = \frac{2 + (2e^{-2T} - 4e^{-T})z^{-1}}{1 - (e^{-T} + e^{-2T})z^{-1} + e^{-3T}z^{-2}}$

$\frac{1}{s - s_k} \Rightarrow \frac{1}{1 - e^{s_k T} z^{-1}}$

例4-7: 用双线性变换法设计一个巴特沃思数字低通滤波器, 采样周期  $T = 1s$ , 解(续): 取  $n = 2$ , 归一化巴特沃思模拟低通滤波器的传递函数为巴特沃思数字低通滤波器的技术指标为:

- 1) 在通带截止频率  $\Omega_p = 0.5\pi$  rad 时, 衰减不大于 3dB;
- 2) 在阻带截止频率  $\Omega_s = 0.75\pi$  rad 时, 衰减不小于 15dB.

$H_a(s) = \frac{1}{s^2 + 1.414s + 1}$

进行反归一化处理, 得到巴特沃思模拟低通滤波器的实际传递函数为

$H_a(s) = H_a(\tilde{s}\omega_c) = \frac{\omega_c^2}{s^2 + 1.414\omega_c s + \omega_c^2}$

利用双线性变换法求出数字滤波器的传递函数  $H(z)$ :

$H(z) = H_a(s) \Big|_{s=\frac{2}{T} \left( \frac{1-z^{-1}}{1+z^{-1}} \right)} = \frac{1 + 2z + z^2}{0.586 + 3.414z^2}$

设计满足技术指标的巴特沃思模拟低通滤波器, 其阶数  $n \geq \frac{\lg \sqrt{10^{0.1\alpha_s} - 1}}{\lg \left( \frac{\Omega_s}{\Omega_p} \right)} \approx 1.941$

#### (2) FIR 滤波器

设计  $H(z) = \sum_{n=0}^{N-1} h(n)z^{-n}$  逼近频率响应  $H_d(\Omega)$ .

① 线性相位条件:  $h(n) = \pm h(N-1-n)$ .

② 窗函数法: 对  $h_d(n)$  加窗得  $h(n) = h_d(n)w(n), n = 0, 1, \dots, N-1$ , 有限.